

# ЭФФЕКТИВНЫЙ НЕЙТРАЛЬНЫЙ ТОК И НАРУШЕНИЕ ЧЕТНОСТИ ПРИ РАССЕЯНИИ ПРОТОНОВ ВЫСОКИХ ЭНЕРГИЙ

*В. Б. Копелиович\*, Л. Л. Франкфурт*

*P*-нечетные эффекты, вычисленные в рамках теории с заряженными токами с учетом обмена (аннигиляции) составляющих – партонов, в рассеянии протонов с  $E_{\text{лаб}} \approx 10 \text{ Гэв}$  имеют величину  $0,3 \cdot 10^{-7}$  в полном сечении, а при  $t \sim s$  достигают  $10^{-6}$  и растут степенным образом с ростом  $E_{\text{лаб}}$ .

Проблемы, связанные со слабым взаимодействием адронов, вызывают все больший интерес в связи с появлением интенсивных пучков поляризованных протонов, необходимых для регистрации малых эффектов нарушения четности [1, 2]. В настоящей статье *P*-нечетные эффекты в рассеянии протонов высоких энергий рассмотрены с точки зрения модели партонов, в рамках которой естественным образом возникает "эффективный" нейтральный ток, обусловленный обменом или аннигиляцией составляющих – партонов, и где, нарушающая четность, амплитуда слабого взаимодействия (в случае упругого рассеяния адронов) не падает с ростом энергии.

В статье предполагается, что лагранжиан слабого взаимодействия партонов построен только из заряженных токов. Истинно нейтральный ток, обнаруженный во взаимодействии нейтрино с ядрами, по-видимому, сохраняет четность, поскольку отношение  $\sigma_{\nu A \rightarrow \nu \dots} / \sigma_{\bar{\nu} A \rightarrow \dots}$  близко к единице [3]. Во всяком случае связанные с ним эффекты нарушения четности могут быть добавлены к вычисленным ниже.

Ранее было показано [4], что в реакциях с перезарядкой в амплитуде слабого взаимодействия при больших энергиях доминирует обмен  $W^\pm$  – промежуточным векторным бозоном (рис. 1). Это утверждение справедливо, при  $|t| < \mu^2$ , если в рассеянии адронов высоких энергий основную роль играют мультипериферические процессы, и при  $t \sim s$  [5], если рассеяние адронов на большой угол сводится к рассеянию валентных партонов [6]. В обоих случаях слабые эффекты растут степенным образом с ростом энергии и переданного импульса [4, 5, 7].

Механизм возникновения эффективного нейтрального тока за счет обмена или аннигиляции составляющих – партонов [5] проиллюстрирован на рис. 2. Он основан на том, что для точечных объектов-партонов амплитуда рассеяния без изменения заряда не содержит специальной малости (ср.  $\nu e$ - и  $\bar{\nu} e$ -рассеяние). Соответствующая амплитуда для рассеяния адронов может быть изображена при  $s < m_{W_\pm}^2$  (формально) как обмен нейтральными векторными бозонами  $W^0$  (рис. 3) с изотопическим спином 0 и единица, с формфакторами  $W^0 NN$ , известными из рассеяния лептонов на нуклонах. Аксиальный изоскалярный формфактор может быть, в принципе, найден (в рамках модели типа Вейнберга) из сопоставления данных по  $\nu N$ - и  $\nu e$ -рассеянию. Нарушающая четность

\* Сотрудник института ядерных исследований АН СССР.

амплитуда упругого рассеяния протона на нуклоне за счет обмена составляющими может быть записана как:

$$M_W^- = \frac{G}{\sqrt{2}} \left\{ \bar{u}_3 \left[ f_1(t) \gamma_\mu - f_2 \frac{\sigma_{\mu\lambda} q_\lambda}{2m} \right] u_1 \bar{u}_4 \gamma_\mu \gamma_5 u_2 + \bar{u}_3 \gamma_\mu \gamma_5 u_1 \bar{u}_4 [f_1(t) \gamma_\mu + f_2(t) \sigma_{\mu\lambda} q_\lambda / 2m] u_2 - \begin{pmatrix} 1 \rightarrow 2 \\ t \rightarrow u \end{pmatrix} \right\} \quad (1)$$

$G = 10^{-5} \text{ m}^{-2}$ ;  $m$  — масса нуклона,  $t = q^2 < 0$ . Функции  $f_1(t)$  и  $f_2(t)$  выражаются через векторные и аксиальный формфакторы  $F_{1,2}^{0,1}(t)$ ,  $G^{0,1}(t)$ , где верхний индекс означает изотопический спин. (Электромагнитная

вершина нуклона имеет вид:  $\bar{u}(F_1 \gamma_\mu - F_2 \frac{\sigma_{\mu\lambda} q_\lambda}{2m})u$ , где  $F_1 = (F_1^0 + r_3 F_1^1)/2$ ; аналогичное разложение можно провести для  $F_2$  и  $G^{0,1}$ ).

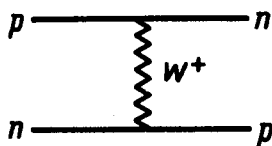


Рис. 1

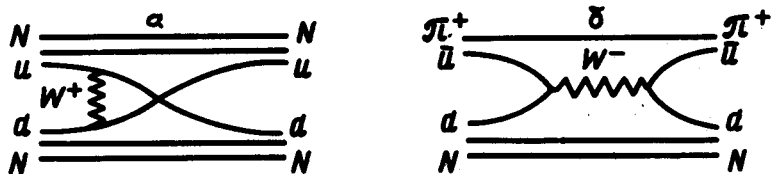


Рис. 2

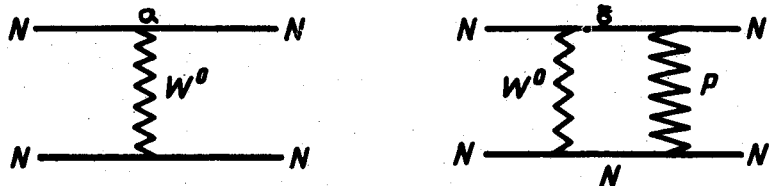


Рис. 3

$$f_1 = -\frac{1}{2} (3F_1^0 G^0 - r_3 F_1^1 G^1), \quad f_2 = -\frac{1}{2} (3F_2^0 G^0 - r_3 F_2^1 G^1) \quad (2)$$

$r_3$  — удвоенная проекция изоспина нуклона мишени. В случае точной  $SU(3)$ -симметрии:  $G_{t=0}^0 = \frac{3}{5} G_{t=0}^1$  (если пренебречь вкладом странных партонов в вершине взаимодействия  $W$  с нуклонами). На опыте  $G^1 = 1,25 \pm 0,09$ . Используя стандартную дипольную параметризацию для  $F_{1,2}$ ,  $G^{0,1}$  и значения

$$F_1^0|_{t=0} = 1 = F_1^1|_{t=0}, \quad F_2^0(0) = \mu_s \quad \text{и} \quad F_2^1(0) = \mu_\nu,$$

где  $\mu_\nu = \mu_p - \mu_n$ , а  $\mu_s = \mu_p + \mu_n$  ( $\mu_p$ ,  $\mu_n$  – аномальные магнитные моменты протона и нейтрона), то можно получить следующие выражения для  $f_{1,2}^p(t)$  и  $f_{1,2}^n(t)$  – для  $pp$ - и  $pn$ -рассеяния соответственно:

$$f_1^p = \frac{G^1}{2} \left\{ -\frac{4}{5} - \frac{t}{4M^2} \left( \mu_\nu - \frac{9}{5} \mu_s - \frac{4}{5} \right) \right\} D(t), \quad f_2^p(t) = \frac{G^1}{2} \left\{ \mu_\nu - \frac{9}{5} \mu_s \right\} D, \quad (3)$$

$$f_1^n = -\frac{G^1}{2} \left\{ \frac{14}{5} - \frac{t}{4M^2} \left( \frac{14}{5} + \mu_\nu + \frac{9}{5} \mu_s \right) \right\} D, \quad f_2^n(t) = -\frac{G^1}{2} \left( \mu_\nu + \frac{9}{5} \mu_s \right) D,$$

$$D^{-1} = (1 - t/4m^2)(1 - t/0,71)^2(1 - t/m_A^2)^2, \quad m_A^2 = 0,9 \pm 0,2 \Gamma_{\text{эф}}^2 [8].$$

Если кварки цветные, то все формфакторы содержат добавочный множитель  $1/3$ . Вклад от эффективного нейтрального тока в  $\sigma_+ - \sigma_-$ , разность полных сечений рассеяния протонов, поляризованных по и против своего импульса, возникает от интерференции амплитуды (1) с реальной частью сильной амплитуды, (как мнимая часть графиков типа рис. 3, описывающего экранировку слабого взаимодействия). Оценим величину  $\bar{\tau} = (\sigma_+ - \sigma_-)/\sigma$  в приближении эйконала (рис. 3, б).

$$\bar{\tau} = +G \frac{\eta 0,9 G^1}{4\pi\sqrt{2}(\lambda_s + \lambda_W)} . \quad (4)$$

Здесь  $\eta = \operatorname{Re} f_s / \operatorname{Im} f_s |_{t=0} \cdot \lambda_s$  и  $\lambda_W$  – наклоны амплитуд сильного и слабого взаимодействия.  $\lambda_s + \lambda_W = 10 \Gamma_{\text{эф}}^{-2}$  при  $E_{\text{лаб}} \sim 10 \text{ Гэв}$ . При  $E = 6 \text{ Гэв}$  ( $\eta = -0,3$ ) [9] получим  $\bar{\tau} = 0,3 \cdot 10^{-7}$ . Экспериментально  $\bar{\tau} < 10^{-5}$  [1]. Заметим, что  $G < 0$  и  $\bar{\tau} > 0$  если слабое взаимодействие, действительно, осуществляется через промежуточный бозон. Сделанные ранее оценки для  $r$  при энергиях до нескольких сот Мэв, использующие стандартные представления об обмене  $\rho$ ,  $\omega$ ,  $2\pi$  и ряд других гипотез, также находятся на уровне  $10^{-7}$  [10 – 13]. Следует отметить также, что малость  $\eta$  отсутствует, если измерять корреляцию более сложного вида  $[\vec{\sigma}_i \times \mathbf{n}] \vec{\sigma}_j$ , т. е. изучать зависимость полного сечения от поперечной поляризации пучка  $(\vec{\sigma}_i \perp \mathbf{n})$  при поперечно поляризованной мишени  $(\vec{\sigma}_j \perp \mathbf{n}, \vec{\sigma}_j \perp \vec{\sigma}_i)$ . Имеется также вклад, связанный с перенормировкой вершины вакуумного полюса за счет слабого взаимодействия. Его, в принципе, можно отделить, используя мишени с разным количеством протонов и нейтронов.

Перейдем к оценке  $P$ -нечетного эффекта при  $t \sim s$ , считая, что доминирует рассеяние валентных партонов и можно использовать выражение (1) для амплитуды  $pp$ -рассеяния. Верхнюю границу для величи-

ны  $r_{t \sim s} = \left( \frac{d\sigma_+}{dt} - \frac{d\sigma_-}{dt} \right) / \frac{d\sigma}{dt}$  можно получить по формуле  $r_{\max} = 4\sqrt{\frac{d\sigma^W}{dt} / \frac{d\sigma_s}{dt}}$ , где  $d\sigma_s/dt$  известно из эксперимента [14], а  $d\sigma^W/dt$  –

сечение за счет  $P$ -нечетной амплитуды слабого взаимодействия (1):

$$\frac{d\sigma^W}{dt} = \frac{G^2}{4\pi} \left[ \left( f_1(t) + f_2(t) \sin^2 \frac{\theta}{2} + f_1(u) + f_2(u) \cos^2 \frac{\theta}{2} \right)^2 + \right. \\ \left. + \frac{E^2}{4m^2} \sin^2 \theta (f_1(t) - f_2(u))^2 \right] \quad (5)$$

$E$  и  $\theta$  – энергия и угол рассеяния протона в СЦИ. Для рассеяния при  $p_{\text{лаб}} = 12,5 \text{ Гэв}/c$  | $t| = 6 \text{ Гэв}^2$  получим  $r_{\max} = 10^{-6}$ . В случае цветных кварков  $r_{\max} = 1/3 \cdot 10^{-6}$ . Величина  $r$  зависит от спиновой структуры сильной амплитуды и ее фазы. Если  $f_s(t \sim s)$  определяется рассеянием partонов с обменом, например, векторным глюоном, то  $f_s(t \sim s)$  вещественна и  $r$  близко к  $r_{\max}$ .

Авторы благодарны М.Г.Рыскину за обсуждение рассеяния адронов на большие углы.

Институт ядерной физики  
им. Б.П.Константинова  
Академии наук СССР

Поступила в редакцию  
26 октября 1975 г.

### Литература

- [1] J.D.Bowman et al. Phys. Rev. Lett., 34, 1184, 1975.
- [2] J.M.Potter et al. Phys. Rev. Lett., 33, 1307, 1974.
- [3] F.J.Hasert et al. Phys. Lett., 46B, 138, 1973.
- [4] Л.Л.Франкфурт. ЖЭТФ, 45, 691, 1971; Письма в ЖЭТФ, 2, 536, 1970.
- [5] L.L.Frankfurt, V.B.Kopeliovich. Nucl. Phys. B, 1975 (in print).
- [6] S.J.Brodsky, G.R.Farrar. Phys. Rev. Lett., 31, 1153, 1973.
- [7] В.Б.Копелиович, Л.Л.Франкфурт. ЯФ, 21, 799, 1975; E.M.Henley, F.R.Kreis. Phys. Rev., D11, 605, 1975.
- [8] W.A.Mann et al. Phys. Rev. Lett., 31, 1153, 1973.
- [9] NN and ND- interactions. A. Compilation UCRL-20000 NN, 1970.
- [10] J.G.Körner. Phys. Lett., 44B, 361, 1973.
- [11] B.R.Brown, E.M.Henley, F.R.Kreis. Phys. Rev., 9C, 935, 1974.
- [12] M.Simonius. Nucl. Phys., A220, 269, 1974; G.N.Epstein. Phys. Lett., 55B, 249, 1975.
- [13] M.Gari, J.H.Reid. Phys. Lett., 53B, 237, 1974.
- [14] C.W.Akerlof et al. Phys. Rev., 159, 1138, 1967; J.V.Allaby et al. Phys. Lett., 25B, 156, 1967.